Доклады Академии наук СССР 1973. Том 209, № 1

ФИЗИЧЕСКАЯ ХИМИЯ

А. В. РАЕВСКИЙ, Г. Б. МАНЕЛИС, Э. М. НАДГОРНЫЙ, А. П. ИВАНОВ НИТЕВИДНЫЕ КРИСТАЛЛЫ ПЕРХЛОРАТА АММОНИЯ МЕХАНИЧЕСКИЕ СВОЙСТВА

(Представлено академиком Н. Н. Семеновым 31 VII 1972)

При изучении топографии процесса термического разложения отдельных кристаллов орторомбического перхлората аммония (1,2) было выскавано предположение об участии дислокаций в этом процессе. Представляло интерес исследование кристаллов перхлората аммония (ПА), практиче-

ски не содержащих дислокаций, и сравнеине их физико-химических свойств со свой-

ствами обычных кристаллов.

В настоящем сообщении приводятся результаты проведенной работы по выращиванию нитевидных кристаллов (3, 4) перхлората аммония и изучению их механических свойств. Была использована способность ПА «ползти» в условиях повышенной влажности. Н.к. выращивалась в стеклянной установке, схематически изображенной на рис. 1. В стакан 1 помещался влажный трижды перекристаллизованный перхлорат аммония 2, в него вставлялся цилиндр 3, по поверхности котого прошлифовывались продольные полосы шириной около 5 мм (для обеспечения лучшей ползучести). Эта часть установки в собранном состоянии закрывалась цилиндром 5, обеспечивающим градиент влажности. Вся установка помещалась в

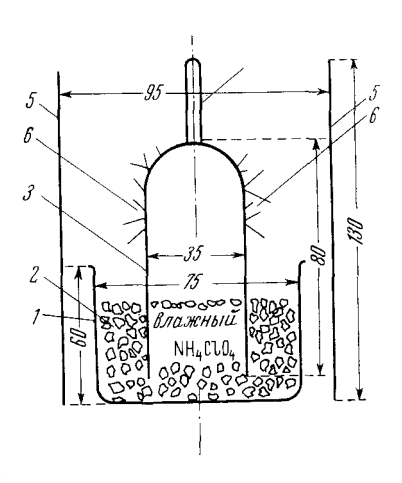


Рис. 1

камеру с постоянной влажностью. Н.к. росли при комнатной температуре в зоне 6 на внешней стороне цилиндра 3 (рис. 2a). Рост продолжался несколько суток. При «сборе урожая» цилиндр 3 вынимался за напаянный держатель 4 и нитевидные кристаллы обламывались на чашку Петри. Собранный материал хранился в эксикаторе над пятиокисью фосфора (рис. 2 см. вкл. к стр. 144).

Все выращенные н.к. имели вид трубок с капалом внутри. Поперечное сечение по форме близко к круговому кольцу. Величины внешнего и внутреннего радиусов колебались от нескольких микроп до нескольких десятков микроп. В длину отдельные экземпляры достигали 50 мм. Тол-

щина стенок изменялась от 1,5 до 10 и.

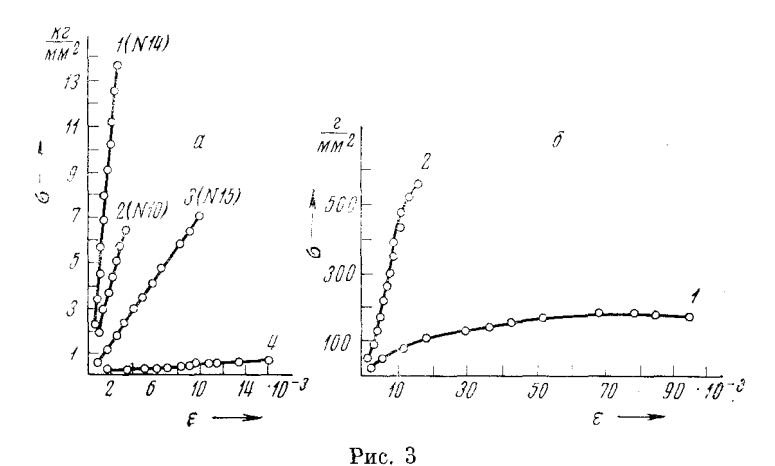
Был осуществлен рост н.к. NH_4ClO_4 с добавкой $KMnO_4$. Для этого совместной кристаллизацией приготовлялся исходный материал IIA, содержащий ~ 1 мол. % $KMnO_4$. В этом случае рост н.к. проходил без существенных изменений. Количество $KMnO_4$, входящего непосредственно в н.к., определялось на иламенном фотометре. Средняя величина содержания $KMnO_4$ оказалась близкой к 1 мол. %, однако различные партии давали значительный разброс ($\pm 30\,\%$).

Механические испытания н.к. на растяжение проводились на испытательной машине типа ТМ-М-L, специально приспособленной для работы с н.к. (магнитная цептрировка, точечные опоры и подвесы и т. п. (3)). Н.к. вклеивались в держатели канифолью. Длина разрываемого образца изме-

Номер об- разца	R, µ	r, μ	$R-r$, $\{a$	P _{max} , r	σпр. КГ ММ²	l, мм	E. Kr/MM2
		Нит	евидные :	кристал	ды ПА		
1 2 3 4 5 6 7 8 9 10 11 12 13 14 15 16 17	18,0 12,5 10,0 15,0 10,0 17,5 20,0 17,5 45,0 22,5 10,0 20,0 10,0 12,5 17,5 25,0	15,0 4,0 5,0 10,0 5,0 12,5 13,5 15,0 10,0 12,5 17,5 6,0 10,0 8,5 12,5 10,0 20,0	3,0 5,0 5,0 5,0 5,0 5,0 5,0 5,0 7,5 5,0 40,0 5,5 5,0 40,0 5,5 5,0 5,0 5,0 5,0 5,0 5,0 5,0 5,0	1,09 0,63 0,53 1,17 0,44 1,02 1,11 0,62 0,55 1,41 1,20 0,36 1,20 0,92 0,87 0,52 0,68 1,25	3,50 1,43 2,25 2,98 1,87 4,95 2,85 1,11 0,85 6,52 1,70 0,38 13,64 6,93 5,25 1,84 0,73 0,96 1,77	6,05 6,56 4,58 2,88 3,50 4,64 5,50 4,83 4,54 8,06 9,13 1,27 1,25 1,95 1,36 1,79 5,26 1,81	$ \begin{array}{c} 2 \cdot 10^{3} \\ 3 \cdot 10^{3} \\ 4 \cdot 10^{3} \\ 2 \cdot 10^{3} \end{array} $
	Нитег	видные	кристалл	ы ПАс;	ц о бавкой		
1 2 3 4 5 6	6,0 10,0 12,5 2,5 10,0 15,0	4,0 4,0 10,0 1,0 8,0 5,0	2,0 6,0 2,5 1,5 2,0 10,0	0,30 0,70 0,42 0,12 0,50 1,10	4,76 2,66 2,40 7,50 3,84 1,75	3,58 1,28 3,32 1,44 1,07 0,57	$2 \cdot 10^{3} \\ 2 \cdot 10^{3}$

[&]quot; R — внешний радиус, r — внутренний радиус, R — r — толщина стенки, P_{\max} — максимальное усилие при разрыве, $\sigma_{\text{пр}}$ — предел прочности, l — длина образца, E — модуль растяжения.

рялась горизонтальным микроскопом МГ с точностью 0,01 мм. Учитывались результаты растяжения только тех образцов, разрыв которых происходил вдали от места вклейки. При расчетах напряжений принималось, что сечение разрыва имеет форму кругового кольца, внешний радиус ко-



торого равен максимальному, а внутренний — минимальному радиусам, полученным при изменениях в различных точках сечения разрыва. Типичное сечение разрыва показано на рис. 26. В табл. 1 приведены результаты

механических испытаний н.к. чистого перхлората аммония, н.к. NH_4ClO_4 с добавкой $KMnO_4$. Типичные диаграммы растяжения образцов с учетом жесткости машины в координатах нормальное напряжение (σ) — относительное удлинение (ε) приведены на рис. За (графики 1, 2, 3; в скобках указаны номера образцов из табл. 1). Нитевидные кристаллы NH_4ClO_4 с добавкой $KMnO_4$ показали аналогичные диаграммы испытаний.

Для сравнения проводились испытания на растяжение кристаллов чистого NH_4ClO_4 вдоль направлений $\langle 040 \rangle$ и $\langle 004 \rangle$. Кристаллы выращивались испарением из водного раствора трижды перекристаллизованного ПА при комнатной температуре. Рекордные диаграммы растяжения кристаллов (с учетом жесткости машины) в координатах $6-\varepsilon$ приведены на рис. Зб. Кривая I—рекордный график испытаний вдоль направления $\langle 040 \rangle$ (испытано 5 кристаллов), кривая 2—

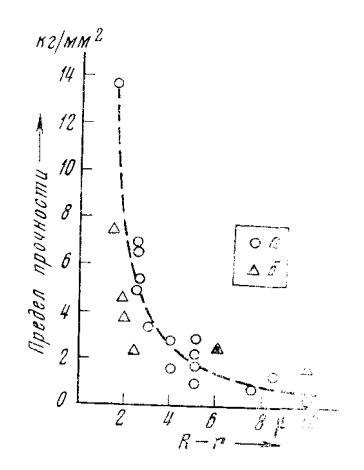


Рис. 4. Зависимость предсла прочности от толицины стенки. a— чистый $\mathrm{NH_4ClO_4}$, σ — $\mathrm{NH_4ClO_4}$ с добавкой \sim 0,1 мол. % $\mathrm{KMnO_4}$

вдоль направления $\langle 001 \rangle$ (испытано 6 кристаллов). Для испытаний под микроскопом отбирались кристаллы, не содержащие заметных дефектов роста. Для удобства сравнения с графиками испытаний н.к. кривая 2 (рис. 3б) перенесена в соответствующем масштабе на рис. 3a (кривая 4). Следует отметить, что для кристаллов все кривые растяжения вдоль направления $\langle 001 \rangle$ легли выше рекордной кривой растяжения вдоль $\langle 010 \rangle$. а разрыв наступал при значительно меньших ε (около 2%). Для интевидных кристаллов была обнаружена зависимость предела точности от толщины стенки (рис. 4), мало изменяющаяся от введения КМпО $_{\ast}$. Одпако не замечено никакой связи между пределами прочности и виспини дпаметром н.к.

Механические испытания показали, что выращенные нитевидные кристаллы перхлората аммония действительно имеют свойства, характерные для н.к. и других веществ: большой предел прочности (наибольшее значение свыше $13~{\rm kr/mm^2}$) по сравнению с обычными кристаллами ${\rm NH_4ClC_4}$ (наибольшее значение $\sim 0.5~{\rm kr/mm^2}$), большая упругая деформация (вплоть до разрыва), равная $\sim 0.2-1\%$. Полученные абсолютные значения модуля E для н.к., приведенные в табл. 1, равные $\sim 3\cdot 10^\circ~{\rm kr/mm^2}$, как можно полагать, соответствуют таковым и для обычных кристаллов. Рентгеловские исследования показали, что рост н.к. перхлората аммония происходит вдоль оси z кристалла (направление двойной винтовой оси).

Можно заключить, что получен материал перхлората аммония в виде нитевидных кристаллов, существенно отличающийся по своим механическим свойствам от применявшегося до настоящего времени и практически не содержащий дисколаций в исходных образцах.

Авторы благодарят Ю. А. Соколову за рентгеновское определение направления роста нитевидных кристаллов перхлората аммония.

Институт химической физики Академии наук СССР Москва

Поступило 18 VII 1972

Институт физики твердого тела Академии наук СССР Черноголовка Моск. обл.

ЦИТИРОВАННАЯ ЛИТЕРАТУРА

¹ А. В. Раевский, Г. Б. Манелис, ДАН, **151**, № **4**, 886 (1963). ² А. В. Раевский, Г. Б. Манелис и др., ДАН, **160**, № 5, 1136 (1965). ³ Э. М. Надгорный, Ю. А. Осипьян и др., УФН, **17**, в. **4**, 627 (1959). ⁴ Э. М. Надгорный, УФН, **27**, в. 2, 201 (1962).